

Subspace Based Blind Channel Estimation for STBC-OFDM Systems

CHEN Wei, FENG Guangzeng

College of Communication and Information Engineering, Nanjing University of Posts and Telecommunications, Nanjing, China

e-mail: gzfeng@njupt.edu.cn

Abstract: This paper proposes a subspace-based blind channel estimation method using virtual carriers for STBC-OFDM systems with two transmit and two receive antennas. The proposed method can be applied to STBC-OFDM systems with CP or no CP. No CP can achieve lower systems complexity, and potentially lead to higher channel utilization. A few CPs significantly improve the accuracy of the channel estimation. Simulations show that the proposed method obtains accurate channel estimation and fast convergence.

Keywords: STBC-OFDM; blind channel estimation; cyclic prefix, virtual carriers

基于子空间的 STBC-OFDM 盲信道估计

陈玮, 鄞广增

南京邮电大学通信与信息工程学院, 南京, 中国, 210003

e-mail: gzfeng@njupt.edu.cn

【摘要】 Changyong Shin^[1]研究了利用 VC 对空间复用 MIMO-OFDM 系统进行子空间盲信道估计, 该方法适用于 CP 不足和没有 CP 的情况。本文在文献[1]的基础上, 提出了利用虚拟子载波对空时编码的 MIMO-OFDM (2 发 2 收 STBC-OFDM) 系统进行子空间盲信道估计方案。该方案适用于有 CP 或无 CP 的情况。少量 CP 情况下利用虚拟子载波可以使信道估计的精度得以显著的提高, 潜在地增加了信道的利用率。仿真结果表明, 该方案可以获得信道的精确估计, 且能快速收敛。

【关键词】 STBC-OFDM; 盲信道估计; 循环前缀; 虚拟子载波

与空时分组码相结合的 OFDM 系统称为 STBC-OFDM 系统。该系统保留了空时分组码的分集增益的同时, 还具有 OFDM 系统的抗多径和频谱效率高优点。由于 STBC-OFDM 综合了空时分组码与 OFDM 两方面的优势, 成为研究的热点。

在 MIMO-OFDM 系统中, 信号的相干检测需要信道冲击响应的可靠估计。基于训练序列的信道估计算法^[3]浪费了带宽, 而且复杂度较高。因此盲信道估计也成为学者们研究的热点。Zhiqiang Liu^[4]提出了一种确定性的盲估计方法, 这种方法要求信道传输函数互素并且传输信号是恒包络的。Shengli Zhou^[5]提出了一种预编码方式下的基于子空间技术的半盲信道估计方法, 预编码增加了系统的复杂度并且消耗了附加的带宽。Yonghong Zeng^[2]提出了一种利用少量导频对 STC-ZP-OFDM 系统进行子空间半盲估计。在实际系统中由于发送频谱成形, 将存在虚拟载波 (Virtual Carriers, VCs), 即这些子载波被置零而不带任何信

息。虚拟载波 (VC) 的存在提供了信道估计的另一种资源。Changyong Shin^[1]研究了利用 VC 对空间复用 MIMO-OFDM 系统进行子空间盲信道估计, 该方法适用于 CP 不足和没有 CP 的情况。

本文在文献^[1]的基础上, 提出了一个使用虚拟子载波对空时编码的 MIMO-OFDM 系统 (本文称为 STBC-OFDM 系统) 进行子空间盲信道估计方案。如前所述, VCs 即 OFDM 符号上未调制的子载波, 如图 2 所示, 分布在调制载波的两端。比如在 IEEE 802.11a 标准中, 每个 OFDM 符号的子载波数目是 64, 有 12 个是用作 VCs 的。对于传统的有 CP-OFDM 来说, VCs 的引入可以使盲估计性能得到更大的提高。而对无 CP 的 OFDM 系统, 可降低系统的复杂度, 增加了信道的利用率。

文中符号意义如下: $(\cdot)^T$ 代表矩阵转置, $(\cdot)^*$ 代表共轭, $(\cdot)^H$ 代表矩阵共轭转置, I 是单位矩阵, $\text{rank}(X)$ 代表 X 的秩, $\text{span}(X)$ 代表 X 的列向量张成的子空间,

*和 \otimes 分别表示卷积和 Kronecker 乘积。

1 STBC-OFDM 系统模型

本文讨论的 STBC-OFDM 系统模型如图 1 所示。

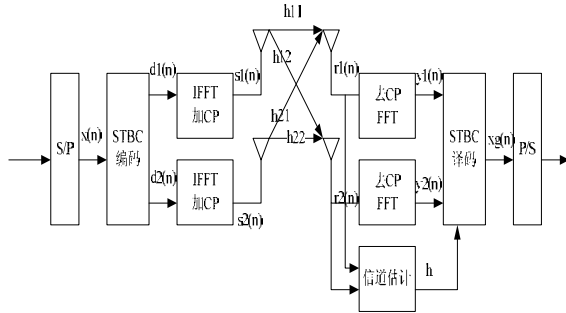


Figure 1. System model of STBC-OFDM
图 1. STBC-OFDM 的系统模型

该模型具有 $M=2$ 个发射天线和 $N=2$ 个接收天线。串/并转换后的发送数据 $x(n)$ 经过空时编码模块被分成两组: $d1(n)$ 和 $d2(n)$, 其中 $x(n)$, $d1(n)$ 和 $d2(n)$ 均为 $Q \times 1$ 的列向量。 $d1_{2k} = x_{2k}$, $d1_{2k+1} = -x_{2k+1}^*$, $d2_{2k} = x_{2k+1}$, $d2_{2k+1} = x_{2k}^*$, 其中 $d1_k$ 和 x_k 分别表示 $d1(n)$ 和 $x(n)$ 的第 k 个数据。编码后的数据块可写成:

$$\begin{bmatrix} x_{2k} & -x_{2k+1}^* \\ x_{2k+1} & x_{2k}^* \end{bmatrix} \quad (1)$$

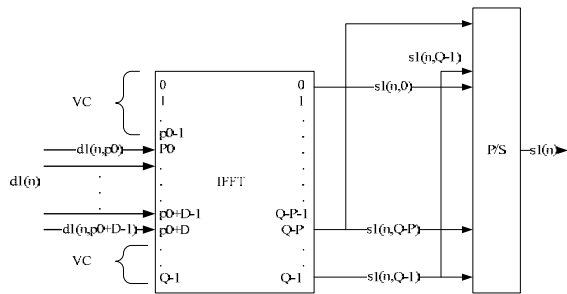


Figure 2. The IFFT module based on virtual carriers
图 2. 基于虚拟子载波的 IFFT 加 CP 模块

如图 2 所示, 每个 OFDM 符号具有 Q 个子载波, 使用第 p_0 个子载波到第 p_0+D-1 个子载波传输数据, 而其余 $Q-D$ 个未调制的载波就作为 VC。若令 $p_0=0$ 及 $D=Q$, 则系统就没有 VC 了。 $d1(n)$ 和 $d2(n)$ 经过 Q 点的 IFFT 后再加 P 个 CP 后的数据符号分别用 $s1(n)$ 和 $s2(n)$ 来表示, 数据长度为 $Q+P$ 。每根天线连续采集 $J=2$ 个 OFDM 符号。 n 表示第 n 个 OFDM 符号, (n,k) 表示

第 n 个 OFDM 符号的第 k 个子载波。定义如下:

$$d(n,k) = [d1(n,k), d2(n,k)]^T \quad (2)$$

$$d(n) = [d^T(n, p_0), d^T(n, p_0+1), \dots, d^T(n, p_0+D-1)]^T \quad (3)$$

$$d = [d^T(n), d^T(n-1)]^T \quad (4)$$

定义进行 IFFT 的变换矩阵 $W(i)$, W 和 W_0 分别为

$$W(i) = \frac{1}{\sqrt{Q}} [w_Q^{ip_0}, w_Q^{i(p_0+1)}, \dots, w_Q^{i(p_0+D-1)}] \quad (5)$$

其中 $w_Q = e^{j2\pi/Q}$

$$W = [W(Q-1)^T, \dots, W(0)^T, W(Q-1)^T, \dots, W(Q-P)^T]^T \quad (6)$$

$$W_0 = I_J \otimes W \otimes I_M \quad (7)$$

经 OFDM 调制后的发送数据为

$$s(n,k) = [s1(n,k), s2(n,k)]^T \quad (8)$$

$$s(n) = [s^T(n, Q-1), \dots, s^T(n, 0), s^T(n, Q-1), \dots, s^T(n, Q-P)]^T \quad (9)$$

$$s = [s^T(n), s^T(n-1)]^T \quad (10)$$

将 $M=2$ 个发射天线和 $N=2$ 个接收天线之间的频率选择性信道模型化为一个 FIR 滤波器, 并且假设信道阶数的上限为 L , $h_{ij}(l)$ 表示从发射天线 i 到接收天线 j 之间的信道冲激响应, 则第 l 阶信道的抽头系数可表示为

$$h(l) = \begin{bmatrix} h_{11}(l) & h_{21}(l) \\ h_{12}(l) & h_{22}(l) \end{bmatrix} \quad (11)$$

构造 $(J(Q+P)-L)N \times J(Q+P)M$ 维信道矩阵如下:

$$H = \begin{bmatrix} h(0) & \dots & h(L) & 0 & \dots & 0 \\ 0 & h(0) & \dots & h(L) & \dots & 0 \\ \vdots & & \ddots & & \ddots & \\ 0 & \dots & 0 & h(0) & \dots & h(L) \end{bmatrix} \quad (12)$$

定义 N 根接收天线上接收到的数据为:

$$r(n,k) = [r1(n,k), r2(n,k)]^T \quad (13)$$

$$r(n) = [r^T(n, Q-1), \dots, r^T(n, 0), r^T(n, Q-1), \dots, r^T(n, Q-P)]^T \quad (14)$$

$$r = [r^T(n), r^T(n-1) \dots r^T(n-(Q+P-L))]^T \quad (15)$$

设 n 为空间和时间均不相关的复高斯噪声向量，其均值为 0，方差矩阵为 $\sigma_n^2 I_{JN(Q+P)-NL}$ 。

$$r = Hs + n = HW_0 d + n = Ad + n \quad (16)$$

2. 盲信道估计

在 $N \geq M$ 和 $(Q+P-D) \geq L$ 的条件下，且加性噪声与发送符号不相关，式(6)中信息符号向量 d 的自相关矩阵 $R_d = E\{dd^H\}$ 列满秩。式(15)中接收信号向量 r 的自相关矩阵 $R_r = E\{rr^H\}$ 可进行特征值分解，其特征向量 U 可分为向量 U_s 和向量 U_n ，由它们分别构成信号子空间 $span(U_s)$ 和噪声子空间 $span(U_n)$ 为

$$U = [U_s | U_n] = [u_1, \dots, u_{JMD} | u_{JMD+1}, \dots, u_{JN(Q+P)-NL}] \quad (17)$$

由于 $span(A)$ 和 $span(U_s)$ 共用维数为 JMD 的空间，且与 $span(U_n)$ 正交，故有以下正交关系：

$$u_i^H A = 0 \quad i = JMD+1, \dots, JN(Q+P)-NL \quad (18)$$

定义 $(L+1)N \times 1$ 维信道响应向量 h_i 及信道系数矩阵 h 分别为：

$$h_i = [h_{i1}(0), h_{iN}(0), \dots, h_{i1}(L), h_{iN}(L)]^T \quad (19)$$

$$h = [h_1, h_M] \quad (20)$$

由式(18)的正交关系可知，在实际中只有噪声子空间可以利用。通过如下最小化二次代价函数式可以得到信道估计矩阵 H_g 。

$$C(H) = \sum_{i=JMD+1}^{JN(Q+P)-NL} \|g_i^H A\|_2^2 = \sum_{i=JMD+1}^{JN(Q+P)-NL} \|g_i^H HW_0\|_2^2 \quad (2)$$

其中 g_i 是特征向量 u_i 平分为 $J(Q+P)-L$ 个相等的段，

$$g_i = \begin{bmatrix} g_i(1) \\ g_i(2) \\ \vdots \\ g_i(J(Q+P)-L) \end{bmatrix} \quad (22)$$

其中 $g_i(m) = \begin{bmatrix} u_i(2m-1) \\ u_i(2m) \end{bmatrix}$ 是 $N \times 1$ 的向量。

由此构建 $N(L+1) \times J(Q+P)$ 维矩阵 G 如下：

$$G_i = \begin{bmatrix} g_i(1) & g_i(2) & \dots & g_i(J(Q+P)-L) & 0 & \dots & \dots & 0 \\ 0 & g_i(1) & g_i(2) & \dots & g_i(J(Q+P)-L) & 0 & \dots & 0 \\ \vdots & \ddots & \ddots & \ddots & \ddots & \ddots & \ddots & \vdots \\ 0 & 0 & \dots & 0 & g_i(1) & g_i(2) & \dots & g_i(J(Q+P)-L) \end{bmatrix} \quad (23)$$

定义矩阵 Ω

$$\Omega = \sum_{i=JMD+1}^{JN(Q+P)-NL} G_i (I_J \otimes W^* W^T) G_i^H \quad (24)$$

于是可以将代价函数重写为： $C(H) = \sum_{i=1}^M h_i^H \Omega h_i$ ，限制 $\|h_i\|_2 = 1, 1 \leq i \leq M$ 。那么信道系数矩阵的估计为：

$$hg = [hg_1, hg_M] = \arg \min_{\|h_i\|_2=1} \left(\sum_{i=1}^M h_i^H \Omega h_i \right) \quad (25)$$

因此式(12)的信道响应向量的估计就与矩阵 Ω 的最小的 M 个特征值所对应的特征向量有关，若 Ω 的最小 M 个特征向量表示为 \hat{h}_1, \hat{h}_2 ，则信道系数矩阵的估计为

$$hg = [hg_1, hg_M] = [\hat{h}_1, \hat{h}_2] a \quad (26)$$

其中 a 为 $M \times M$ 维模糊矩阵。信道模糊度是盲信道估计方法所固有的，可通过插入少量导频来消除^[2]。

3 仿真结果及性能分析

发送数据为随机产生的 BPSK 信号，子载波数为 $Q=16$ 。信道的阶数 $L=3$ ，每径抽头系数 $h_{ij}(l)$ 独立同分布，满足零均值 $\sigma_h^2=2$ 的高斯分布。每 N_b 个 OFDM 符号估计一次，假设信道在此期间是时不变的。加性噪声为空间不相关的复高斯白噪声，均值为 0，方差由信噪比 SNR 决定如下

$$SNR = 10 \log_{10} \frac{E\{|s_1 * h_{i1} + s_2 * h_{i2}|^2\}}{\sigma_i^2} \quad (dB) \quad (27)$$

式中， s_j 表示第 j 根发射天线发射的符号， h_{ij} 表示第 i 根发射天线和第 j 根接收天线间的信道冲击响应向量。信道模糊度 a 是在假设真实信道已知的前提下，式(26)的最小二乘解。为了度量信道估计性能，采用归一化均方误差 (NRMSE) 作为性能的测量标准

$$NRMSE = \sqrt{\frac{1}{N_m MN(L+1)} \sum_{i=1}^M \sum_{j=1}^{N_m} \frac{\|hg_i^{(j)} - h_i^{(j)}\|_2^2}{\|h_i^{(j)}\|_2^2}} \quad (28)$$

式中 N_m 为 Monte Carlo 实验的次数，上标 j 表示第 j 次 Monte Carlo 实验， $h_{g_i}^{(j)}$ 和 $h_i^{(j)}$ 分别表示估计信道响应向量和真实信道响应向量。

图 3 为固定 OFDM 符号数目($N_b=400$)时，信道估计的归一化均方误差随信噪比的变化曲线。图 4 为固定信噪比时信道估计的归一化均方误差随 OFDM 符号数的变化曲线，作为例子，图 4 表示了 SNR=30 情况下的性能曲线，SNR=20、15、10。等其它情况下的性能曲线与之类似，不同 N_b 下不同 SNR 的平均信道估计归一化均方误差可从图 3 上得到。由图 3 和图 4 可以看出，信道估计的归一化均方误差 NRMSE 随着信噪比的增加以及 OFDM 符号数的增加都呈现下降的趋势，曲线也反映了本文提出的利用虚拟子载波对 STBC-OFDM 系统子空间盲信道估计算法的可行性。图 3 和图 4 给出了不同 D (数据符号数)、 P (CP 长)和 p_0 (VC 长)时，即 ($D=16, P=4, p_0=0$)，($D=14, P=2,$

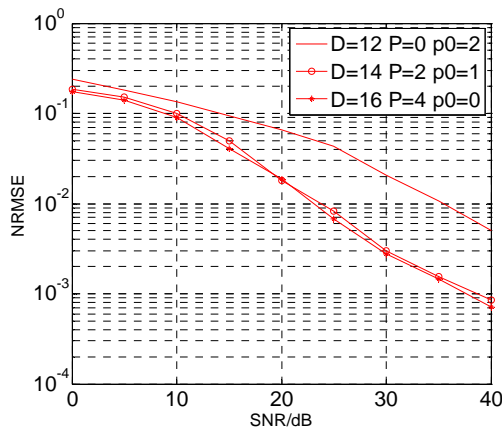


Figure 3. NRMSE vs SNR ($N_b=400$)
图 3. NRMSE 随 SNR 变化曲线($N_b=400$)

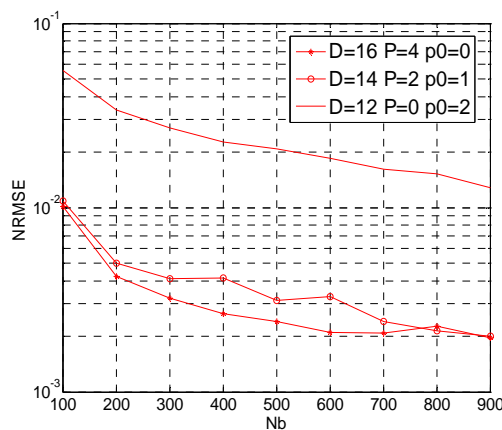


Figure 4. NRMSE vs N_b (SNR=30)
图 4. NRMSE 随 N_b 变化曲线 (SNR=30)

$p_0=1$)和 ($D=12, P=0, p_0=2$)时的信道估计归一化均方误差曲线，其中 ($D=16, P=4, p_0=0$)曲线代表 CP 长度充分但无 VC，($D=14, P=2, p_0=1$)代表 CP 不充分但有 VC 利用，而 ($D=12, P=0, p_0=2$)代表无 CP 但有 VC 利用。结论是采用本文提出的利用虚拟子载波对 STBC-OFDM 系统子空间盲信道估计方案，CP 长度充分时估计性能最好；CP 不充分但有 VC 利用时估计性能次之，可接近 CP 长度充分时估计性能，VC 的利用可有效地弥补因 CP 长度不足带来的估计性能下降；无 CP 但有 VC 利用时，本文提出的利用虚拟子载波对 STBC-OFDM 系统子空间盲信道估计方案仍可进行有效信道估计，但性能不如前两种情况。总之，本文提出的利用虚拟子载波对 STBC-OFDM 系统子空间盲信道估计算法是可行的，实际 STBC-OFDM 中由于发送频谱成形，将存在虚拟载波(VCs)，这些子载波不带任何信息，虚拟子载波的利用可提高估计的性能，潜在地增加信道利用率。

4 结论

本文提出了一种 2 发 2 收 STBC-OFDM 系统利用虚拟子载波进行基于子空间的盲信道估计方法，不要信道传输函数互质，发送信号不需要满足恒模条件，不需对发送信号进行预编码，适用于有 CP 的 OFDM 系统或无 CP 的 OFDM 系统，能快速收敛，鲁棒性较好，少量的 CP 可以使信道估计的精度得以显著的提高，可降低系统的复杂度，潜在地增加了信道的利用率。

References (参考文献)

- [1] Changyong Shin, Robert W Heath, Jr., Edward J Powers et al.. Blind Channel Estimation for MIMO-OFDM Systems. IEEE Transactions on Vehicular Technology, 2007, Vol.56(2), pp. 670-685.
- [2] Yonghong Zeng, W.H.Lam, and Tung Sang Ng, et al.. Semiblind Channel Estimation and Equalization for MIMO Space-Time Coded OFDM. IEEE Transactions on Circuits and Systems, 2006, Vol.53(2), pp.463-474.
- [3] Sumei Sun, Ingo Wiemer, C.K.Ho, T.Tjhung, et al.. Training Sequence Assisted Channel Estimation for MIMO OFDM. IEEE Wireless Communications and Networking, 2003, Vol.1, pp. 38-43.
- [4] Zhiqiang Liu, G.B.Giannakis, et al.. Transmit antennas space-time block coding for generalized OFDM in the presence of unknown multipath. IEEE Journal on Selected Areas in Communications, 2001, Vol.19(7), pp.1352-1364.
- [5] Shengli Zhou, B.Muquet, and G.B.Giannakis, et al. Subspace-based(semi-) blind channel estimation for block precoded space-time OFDM. IEEE Trans. Signal Processing, 2002, Vol.50, pp.1215-1228.